

О повышении доступности шлюза по умолчанию в корпоративных сетях

А.Н. Земцов¹, Зунг Хань Чан²

¹*Волгоградский государственный технический университет*

²*Национальный экономический университет*

Аннотация: Рассматривается важная составляющая защиты и обеспечения доступности автоматизированных систем управления технологическими процессами – шлюз по умолчанию. Основной задачей проекта является минимизация времени конвергенции путем обеспечения высокой доступности критически важных объектов с целью гарантирования непрерывности связи центрального управления технологическими процессами с территориально распределенными объектами производства. Приводится анализ работы одного из технологических решений, а также оценки вероятности безотказной работы для шлюза по умолчанию с резервированием и без.

Ключевые слова: HSRP, отказоустойчивость, высокая доступность, отказ, конвергенция, маршрутизация, протокол, нагруженный резерв, резервирование, непрерывность бизнеса.

Рост влияния информационно-коммуникационных технологий на все области человеческой деятельности формирует более жесткие требования к показателям надежности современных индустриальных сетей, как составляющих критически важных объектов. Ранее функциональные системы критически важных объектов создавались изолированными от глобальной сети и на основе проприетарных протоколов и технологий. Технологические процессы современного предприятия требуют унификации и стандартизации используемых решений, что обуславливает массовый переход на новые поколения индустриальных сетей, а также применение подходов к обеспечению доступности, защите и резервированию автоматизированных систем управления технологическими процессами (АСУ ТП). Для крупных предприятий отказ сети всего в течение нескольких минут в год может привести к чрезвычайно крупным потерям [1], что делает актуальным исследование обеспечения отказоустойчивости сети предприятия, в том числе, процессов восстановления сети после сбоев и отказов [2]. Сбои и отказы важных инфраструктурных элементов

индустриальной сети могут существенно повлиять на продуктивность работы АСУ ТП целом[3].

Резервирование является эффективным и широко применяемым методом кардинального повышения показателей надежности в технических системах, в том числе, критически важных объектах, и функционирующих на них АСУ ТП [4]. Один из способов достичь этого заключается в использовании оборудования в режиме холодного резерва[5]. Однако, такой подход не обеспечивает непрерывности бизнеса.

Для обеспечения отказоустойчивости маршрутизации, в том числе, снижения времени конвергенции, могут использоваться современные технологические решения [6-8], которые основаны на виртуализации маршрутизаторов, заключающейся в объединении группы маршрутизаторов в виртуальный маршрутизатор, выполняющий роль шлюза по умолчанию.

Виртуальный маршрутизатор является абстрактным представлением активного маршрутизатора, а также одного, или нескольких, резервных маршрутизаторов, работающих в режиме нагруженного резерва замещением. Одним из таких решений является протокол HSRP компании Cisco, описанным в стандарте RFC 2281.

Группа HSRP имеет виртуальный IP-адрес, а также и виртуальный MAC-адрес, а активный маршрутизатор обеспечивает передачу пакетов, направленных хостами на шлюз по умолчанию. Конечные хосты используют протокол разрешения адресов ARP для разрешения MAC-адреса, связанного с IP-адресом шлюза по умолчанию. Активный маршрутизатор отвечает на запросы ARP виртуальным MAC-адресом группы. Кадры, которые отправляются на виртуальный MAC-адрес, физически обрабатываются активным маршрутизатором. Физический маршрутизатор, пересылающий трафик корпоративной сети в Интернет, скрыт от конечных хостов.

Активные и резервные маршрутизаторы выбираются во время процесса выборов. Процесс выбора основан на значении приоритета, которое настраивается на каждом маршрутизаторе в группе. Если все маршрутизаторы имеют одинаковый приоритет, активным маршрутизатором становится маршрутизатор с наибольшим IP-адресом. С момента запуска процесса HSRP маршрутизатор проходит через ряд состояний, прежде чем он становится активным маршрутизатором[6].

Для изучения процессов восстановления сети в случае отказов был разработан стенд, показанный на рисунке 1. Топология сети представлена 1 коммутатором уровня 2, двумя коммутаторами уровня 3, маршрутизатором, и двумя конечными хостами. IP-адреса настроены на интерфейсах, как показано на рисунке 1.

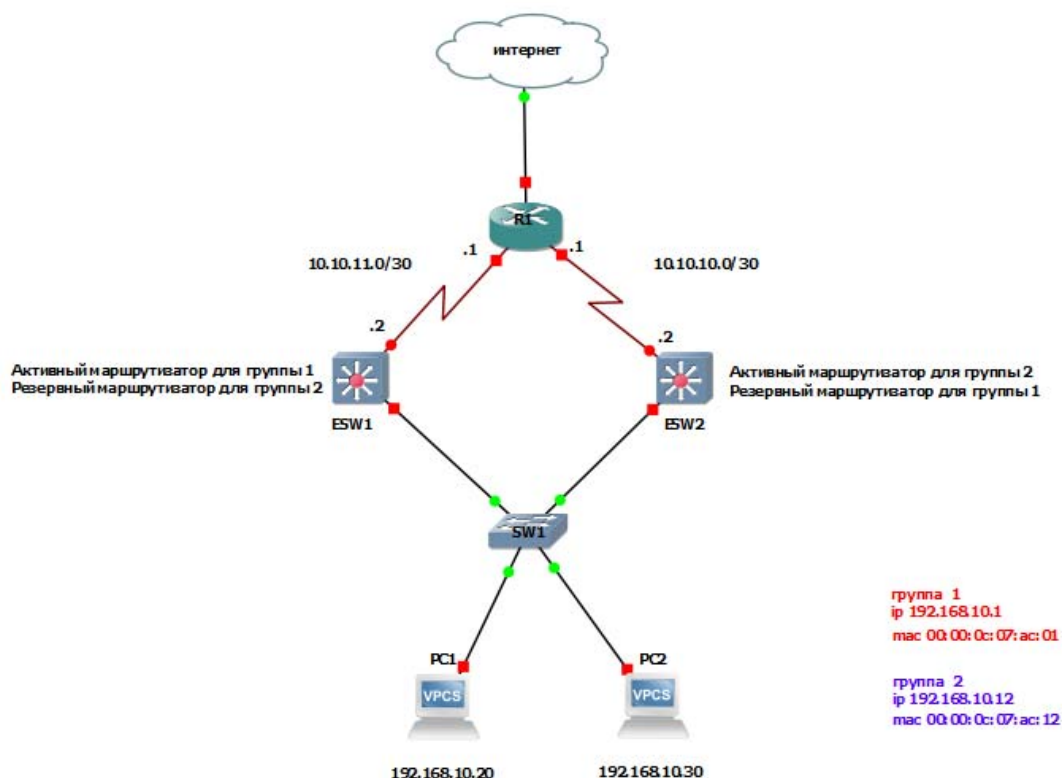
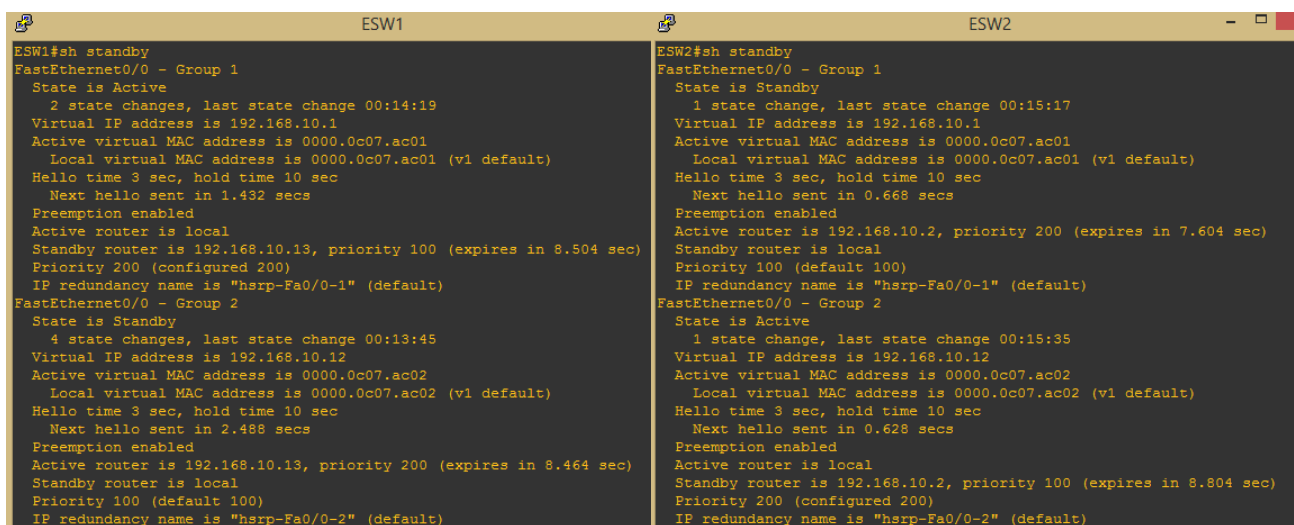


Рис. 1. – Топология исследовательского стенда.

В качестве шлюза по умолчанию PC1 использовался виртуальный IP-адрес группы 1, а PC2 был настроен с виртуальным IP-адресом группы 2 в

качестве шлюза. Для динамической маршрутизации пакетов между хостами использовался усовершенствованный дистанционно-векторный протокол динамической маршрутизации EIGRP. ESW1 был настроен в качестве активного маршрутизатора для группы 1 и в качестве резервного маршрутизатора для группы 2, а ESW2 – наоборот. Было использовано несколько конфигураций протокола HSRP, одна из которых приведена на рисунке 2.

Для представленного стенда вероятность безотказной работы [9] группы HSRP для общего резервирования равнонадежных коммутаторов ESW1 и ESW2 с нагруженным резервом запишется как $P_{HSRP}(t) = 1 - (1 - p(t))^2$, где $p(t)$ – вероятность безотказной работы коммутатора в течение времени t . Среднюю наработку на отказ предоставляет производитель, которая для данной популярной модели коммутаторов составляет 442000 часов. Легко найти, что вероятность безотказной работы коммутатора $p(t)$ через 1 год, 2 года и 3 года составит 0.980376, 0.961137 и 0.942276, соответственно, а вероятность $P_{HSRP}(t)$ – 0.999615, 0.998489 и 0.996534.



```
ESW1#sh standby
FastEthernet0/0 - Group 1
  State is Active
    2 state changes, last state change 00:14:19
    Virtual IP address is 192.168.10.1
    Active virtual MAC address is 0000.0c07.ac01
    Local virtual MAC address is 0000.0c07.ac01 (v1 default)
    Hello time 3 sec, hold time 10 sec
    Next hello sent in 1.432 secs
  Preemption enabled
  Active router is local
  Standby router is 192.168.10.13, priority 100 (expires in 8.504 sec)
  Priority 200 (configured 200)
  IP redundancy name is "hsrp-Fa0/0-1" (default)
FastEthernet0/0 - Group 2
  State is Standby
    4 state changes, last state change 00:13:45
    Virtual IP address is 192.168.10.12
    Active virtual MAC address is 0000.0c07.ac02
    Local virtual MAC address is 0000.0c07.ac02 (v1 default)
    Hello time 3 sec, hold time 10 sec
    Next hello sent in 2.488 secs
  Preemption enabled
  Active router is 192.168.10.13, priority 200 (expires in 8.464 sec)
  Standby router is local
  Priority 100 (default 100)
  IP redundancy name is "hsrp-Fa0/0-2" (default)

ESW2#sh standby
FastEthernet0/0 - Group 1
  State is Standby
    1 state change, last state change 00:15:17
    Virtual IP address is 192.168.10.1
    Active virtual MAC address is 0000.0c07.ac01
    Local virtual MAC address is 0000.0c07.ac01 (v1 default)
    Hello time 3 sec, hold time 10 sec
    Next hello sent in 0.668 secs
  Preemption enabled
  Active router is 192.168.10.2, priority 200 (expires in 7.604 sec)
  Standby router is local
  Priority 100 (default 100)
  IP redundancy name is "hsrp-Fa0/0-1" (default)
FastEthernet0/0 - Group 2
  State is Active
    1 state change, last state change 00:15:35
    Virtual IP address is 192.168.10.12
    Active virtual MAC address is 0000.0c07.ac02
    Local virtual MAC address is 0000.0c07.ac02 (v1 default)
    Hello time 3 sec, hold time 10 sec
    Next hello sent in 0.628 secs
  Preemption enabled
  Active router is local
  Standby router is 192.168.10.2, priority 100 (expires in 8.804 sec)
  Priority 200 (configured 200)
  IP redundancy name is "hsrp-Fa0/0-2" (default)
```

Рис. 2. – Конфигурация HSRP на маршрутизаторах ESW1 и ESW2.

Изучение процессов восстановления после отказов было проведено путем одновременного теста доступности DNS-сервера Google по

IP-адресу 8.8.8.8 с PC1 и PC2. Пакеты ICMP между коммутаторами, PC1 и PC2 были захвачены с помощью sniffера Wireshark [10]. На рисунке 3 показано содержимое одного из ICMP-пакетов, переданных с PC1 на хост 8.8.8.8.

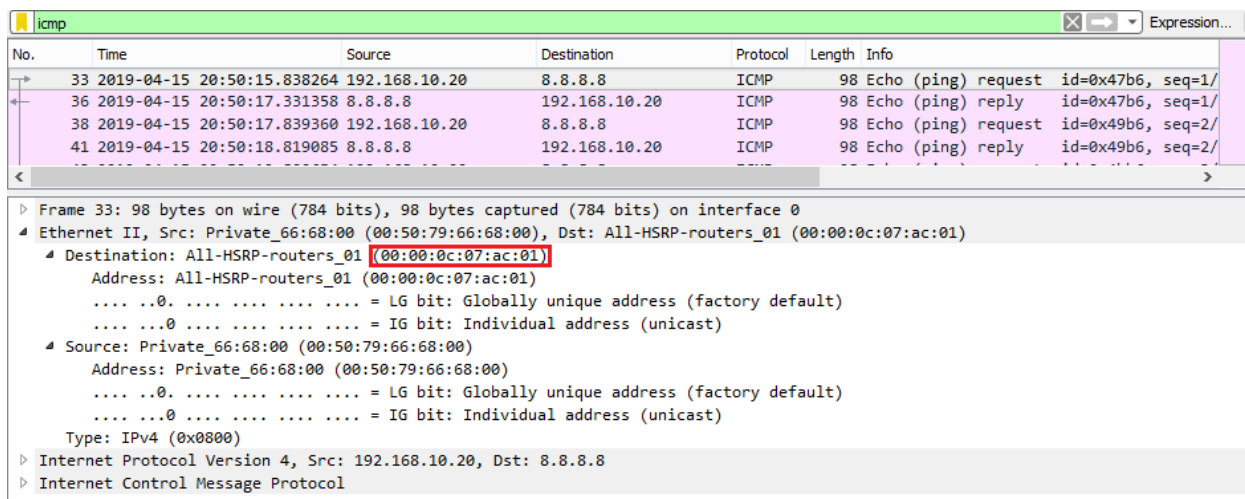


Рис. 3. – ICMP-пакет, переданный с PC1 на хост 8.8.8.8.

Как видно из захваченных пакетов, PC1 отправляет свой трафик через интерфейс с MAC-адресом 00:00:0c:07:ac:01, который является виртуальным MAC-адресом группы 1, в которой ESW1 имеет состояние Active.

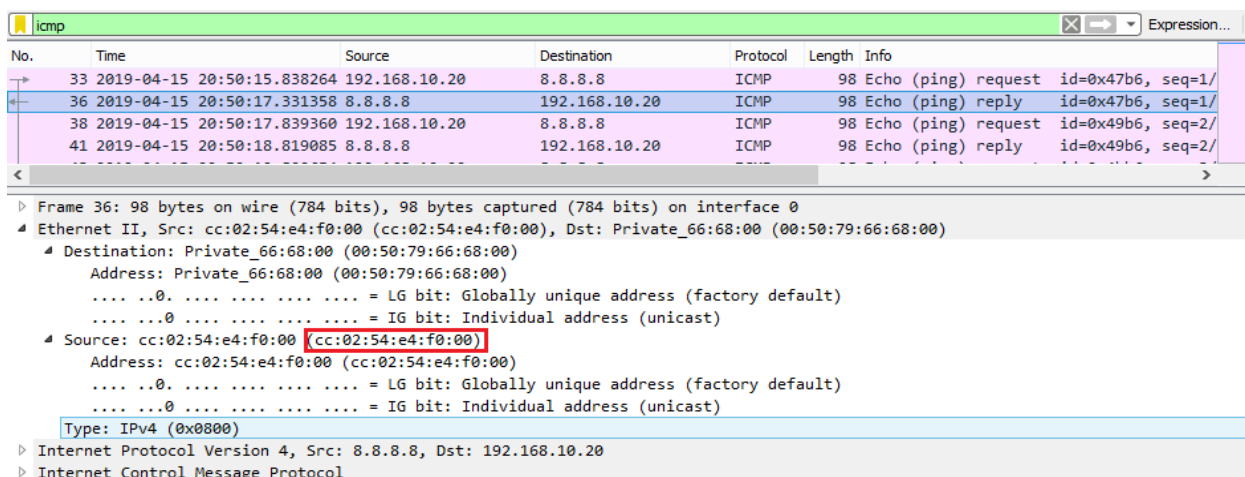
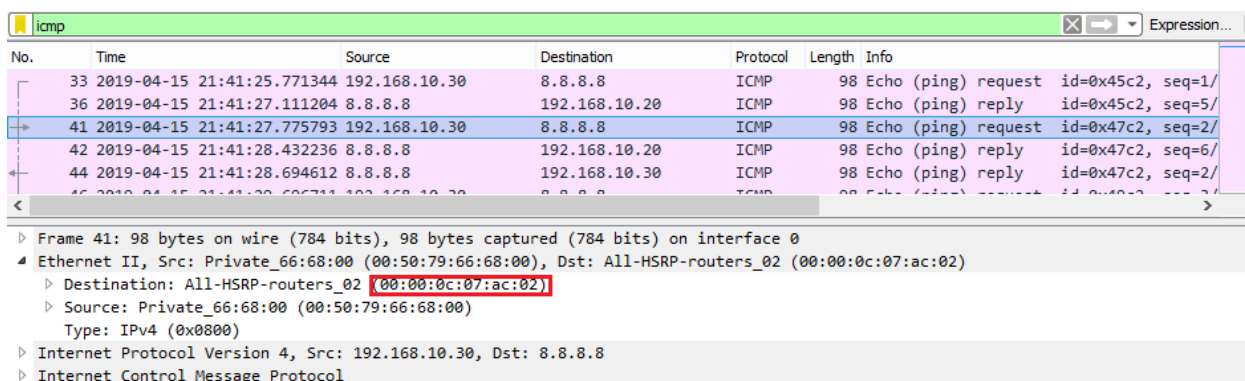


Рис. 4. – ICMP-ответ, переданный от хоста 8.8.8.8 на PC1.

Как видно на рисунке 4, PC1 получает свой трафик через интерфейс fastethernet 0/0 коммутатора ESW2 с MAC-адресом cc:02:54:e4:f0:00, которым он подключен к коммутатору SW1.

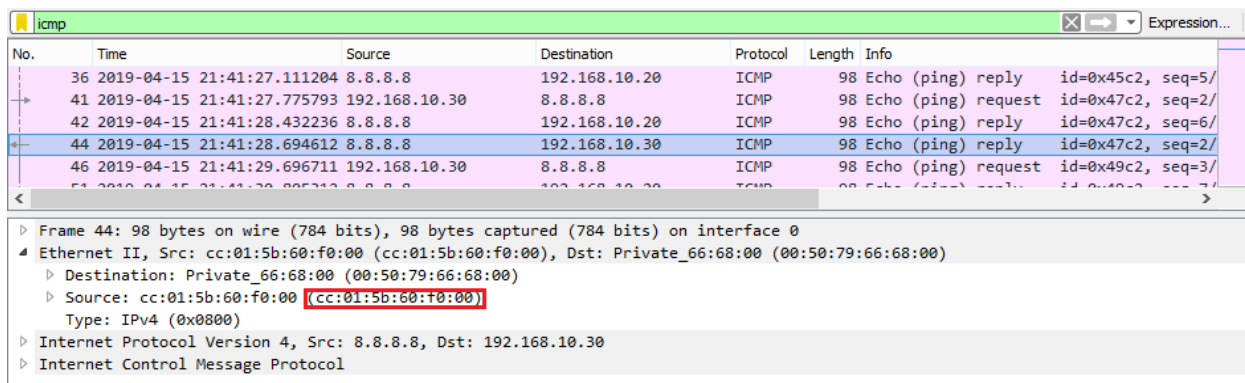


No.	Time	Source	Destination	Protocol	Length	Info
33	2019-04-15 21:41:25.771344	192.168.10.30	8.8.8.8	ICMP	98	Echo (ping) request id=0x45c2, seq=1/
36	2019-04-15 21:41:27.111204	8.8.8.8	192.168.10.20	ICMP	98	Echo (ping) reply id=0x45c2, seq=5/
41	2019-04-15 21:41:27.775793	192.168.10.30	8.8.8.8	ICMP	98	Echo (ping) request id=0x47c2, seq=2/
42	2019-04-15 21:41:28.432236	8.8.8.8	192.168.10.20	ICMP	98	Echo (ping) reply id=0x47c2, seq=6/
44	2019-04-15 21:41:28.694612	8.8.8.8	192.168.10.30	ICMP	98	Echo (ping) reply id=0x47c2, seq=2/

Frame 41: 98 bytes on wire (784 bits), 98 bytes captured (784 bits) on interface 0
Ethernet II, Src: Private_66:68:00 (00:50:79:66:68:00), Dst: All-HSRP-routers_02 (00:00:0c:07:ac:02)
Destination: All-HSRP-routers_02 (00:00:0c:07:ac:02)
Source: Private_66:68:00 (00:50:79:66:68:00)
Type: IPv4 (0x0800)
Internet Protocol Version 4, Src: 192.168.10.30, Dst: 8.8.8.8
Internet Control Message Protocol

Рис. 5. – ICMP-пакет, переданный с PC2 на хост 8.8.8.8.

На рисунке 5 показано, что PC2 отправляет свой трафик через интерфейс с MAC-адресом 00:00:0c:07:ac:12, который является виртуальным MAC-адресом группы 2, в которой ESW2 имеет состояние Active. Как видно на рисунке 6, PC2 получает свой трафик через интерфейс fastethernet 0/0 коммутатора ESW1 с MAC-адресом cc:01:5b:60:f0:00, которым он подключен к коммутатору SW1.



No.	Time	Source	Destination	Protocol	Length	Info
36	2019-04-15 21:41:27.111204	8.8.8.8	192.168.10.20	ICMP	98	Echo (ping) reply id=0x45c2, seq=5/
41	2019-04-15 21:41:27.775793	192.168.10.30	8.8.8.8	ICMP	98	Echo (ping) request id=0x47c2, seq=2/
42	2019-04-15 21:41:28.432236	8.8.8.8	192.168.10.20	ICMP	98	Echo (ping) reply id=0x47c2, seq=6/
44	2019-04-15 21:41:28.694612	8.8.8.8	192.168.10.30	ICMP	98	Echo (ping) reply id=0x47c2, seq=2/
46	2019-04-15 21:41:29.696711	192.168.10.30	8.8.8.8	ICMP	98	Echo (ping) request id=0x49c2, seq=3/

Frame 44: 98 bytes on wire (784 bits), 98 bytes captured (784 bits) on interface 0
Ethernet II, Src: cc:01:5b:60:f0:00 (cc:01:5b:60:f0:00), Dst: Private_66:68:00 (00:50:79:66:68:00)
Destination: Private_66:68:00 (00:50:79:66:68:00)
Source: cc:01:5b:60:f0:00 (cc:01:5b:60:f0:00)
Type: IPv4 (0x0800)
Internet Protocol Version 4, Src: 8.8.8.8, Dst: 192.168.10.30
Internet Control Message Protocol

Рис. 6. – ICMP-ответ, переданный от хоста 8.8.8.8 на PC2.

Как видно на рисунке 6, PC2 получает свой трафик через интерфейс fastethernet 0/0 коммутатора ESW1 с MAC-адресом cc:01:5b:60:f0:00, которым он подключен к коммутатору SW1.

Результаты показывают, что оба маршрутизатора ESW1 и ESW2 используются для передачи пакетов, т.е. обеспечивают балансировку нагрузки. Работа резервных устройств в режиме ненагруженного резерва позволяет достичь лучших показателей надежности, по сравнению с нагруженным резервом, а также снизить расход потребляемой энергии.

Однако, необходимо учитывать, что работа резервных устройств в режиме ненагруженного резерва не обеспечивает приемлемое время конвергенции.

Литература

1. Пащенко У.Ю. Корпоративная сеть как инструмент повышения эффективности управления предприятием // Экономика и предпринимательство, 2018. №10 (99). С. 1250-1254.
2. Зотов А.И., Гриценко В.В., Черпаков А.В. Частичный отказ в теории надежности // Инженерный вестник Дона, 2018, № 4. URL: ivdon.ru/ru/magazine/archive/n4y2018/5350.
3. Шапошников, Д.Е. Применение принципа гарантированного результата для учёта качественной информации о предпочтениях при комплексной оценке качества функционирования телекоммуникационных сетей // Инженерный вестник Дона, 2014, № 4-1. URL: ivdon.ru/ru/magazine/archive/N4y2014/2574.
4. Tipper D. Resilient network design: challenges and future directions // Telecommunication Systems, 2014. Vol. 56. pp. 5-16.
5. Каяшев А.И., Рахман П.А., Шарипов М.И. Анализ показателей надежности локальных компьютерных сетей // Вестник УГАТУ, 2014. Т.17. № 5(58). С. 140-149.
6. Макаренко С.И. Время сходимости протоколов маршрутизации при отказах в сети // Системы управления, связи и безопасности, 2015. №2. С. 45-98.
7. Girao-Silva R. Improving network availability - A design perspective // Third International Congress on Information and Communication Technology ICICT 2018, 2018. Vol.797. pp. 799-817.

8. Peralta J.A. High availability WAN implementation with MPLS to improve network connectivity in a financial institution// Lecture Notes in Engineering and Computer Science, 2017. pp. 47-50.
9. Гришко А.К. Определение показателей надежности структурных элементов сложной системы с учетом отказов и изменения параметров // Измерение. Мониторинг. Управление. Контроль, 2016. №2 (16). С. 51-57.
10. Батенков К.А. Анализ статистики трафика сети Ethernet с помощью программы Wireshark // Телекоммуникации, 2018. № 10. С. 39-48.

References

1. Pashhenko U. Ju. Jekonomika i predprinimatel'stvo, 2018. №10 (99). pp. 1250-1254.
2. Zotov A. I., Gricenko V. V., Cherpakov A. V. Inzenernyj vestnik Dona, 2018, № 4. URL: ivdon.ru/ru/magazine/archive/n4y2018/5350.
3. Shaposhnikov, D. E. Inzenernyj vestnik Dona 2014, № 4-1. URL: ivdon.ru/ru/magazine/archive/N4y2014/2574.
4. Tipper D. Telecommunication Systems, 2014. Vol. 56. pp. 5-16.
5. Kajashev A. I., Rahman P. A., Sharipov M. I. Vestnik UGATU, 2014. T. 17. № 5(58). pp. 140-149.
6. Makarenko S. I. Sistemy upravlenija, svjazi i bezopasnosti, 2015. №2. pp. 45-98.
7. Girao-Silva R. Third International Congress on Information and Communication Technology ICICT 2018, 2018. Vol. 797. pp. 799-817.
8. Peralta J.A. Lecture Notes in Engineering and Computer Science, 2017. pp. 47-50.
9. Grishko A. K. Izmerenie. Monitoring. Upravlenie. Kontrol', 2016. №2 (16). pp. 51-57.
10. Batenkov K. A. Telekommunikacii, 2018. № 10. pp. 39-48.